

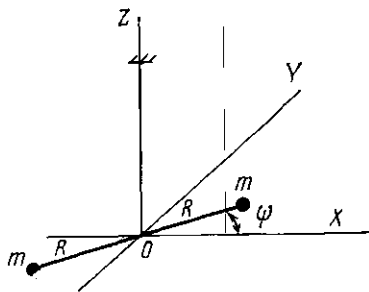
УДК 53.088:528.565

О ПРЕДЕЛЬНОЙ ТОЧНОСТИ ИЗМЕРЕНИЙ ВТОРЫХ ПРОИЗВОДНЫХ ПОТЕНЦИАЛА ГРАВИТАЦИОННОГО ПОЛЯ

В. С. Назаренко

(ГАИШ)

Для измерения вторых производных гравитационного потенциала необходимо иметь систему из двух или более пробных масс, разнесенных в пространстве, и прибора, регистрирующего относительные ускорения этих масс. Как и в других физических экспериментах с пробными телами, предельная точность таких измерений ограничивается, по крайней мере, двумя принципиально неустраняемыми факторами — броуновским движением пробных масс (тепловой предел) и собственными шумами регистрирующего прибора (инструментальный предел). Для определенности рассмотрим классическую схему градиентометра,



в котором пробные массы m укреплены на концах невесомого коромысла длиной $2R$, подвешенного на нити с крутильной жесткостью D (рисунок). Предположим следующее: крутильный осциллятор имеет одну степень свободы — поворот в плоскости XY ; угловые перемещения коромысла регистрируются прибором непрерывного действия, собственные шумы которого имеют равномерную спектральную плотность N_0 ; время

наблюдения ограничено заданной величиной τ ; осциллятор находится в термостате, имеющем температуру T , и единственным источником случайных воздействий являются тепловые флуктуации. Цель работы — оценить предельную точность измерения вторых производных гравитационного потенциала, достижимую при указанных условиях.

Уравнение движения рассматриваемого осциллятора в гравитационном поле с потенциалом $W(x, y, z)$ нетрудно получить, если разложить функцию $W(x, y, z)$ в начале координат в ряд Тейлора, ограничиваясь вторыми производными (случай слабо неоднородного поля). Тогда получим

$$\ddot{\psi} + 2\delta\dot{\psi} + \omega_0^2\psi = W_{xy} \cos 2\psi + W_{\Delta} \sin 2\psi, \quad (1)$$

где $\psi(t)$ — угловая координата гантели; $\delta \equiv H/2J$, H — коэффициент трения; $J \equiv 2mR^2$ — момент инерции гантели;

$$\omega_0^2 \equiv D/J; \quad W_{xy} \equiv \frac{\partial^2 W}{\partial x \partial y}; \quad W_{\Delta} \equiv \frac{1}{2} \left(\frac{\partial^2 W}{\partial y^2} - \frac{\partial^2 W}{\partial x^2} \right).$$

Уравнение движения (1) нелинейно относительно ψ и в общем случае аналитически не решается. Его можно линеаризовать, если рассматривать малые колебания гантели около положения равновесия φ_0 :

$$\psi(t) = \varphi_0 + \varphi(t); \quad \varphi(t) \ll 1, \quad (2)$$

что оправдывается малостью W_{xy} и W_Δ в реальных полях. Подставляя (2) в (1) и разлагая правую часть (1) в ряд по φ с точностью до первой степени, получим

$$\ddot{\varphi} + 2\delta\dot{\varphi} + [\omega_0^2 - \Gamma_2(\varphi_0)]\varphi = \Gamma_1(\varphi_0), \quad (3)$$

где введены обозначения:

$$\Gamma_1(\varphi_0) \equiv W_\Delta \sin 2\varphi_0 + W_{xy} \cos 2\varphi_0, \quad (4)$$

$$\Gamma_2(\varphi_0) \equiv W_\Delta \cos 2\varphi_0 - W_{xy} \sin 2\varphi_0.$$

Решением уравнения (3) являются свободные затухающие колебания:

$$\psi(t) = \varphi_0 + \varphi(t) = \varphi_0 + \gamma + \psi_0 \exp(-\delta t) \cos(\omega t + \beta_0), \quad (5)$$

где

$$\gamma = \Gamma_1(\varphi_0)/[\omega_0^2 - \Gamma_2(\varphi_0)]; \quad \omega^2 = \omega_0^2 - \Gamma_2(\varphi_0); \quad \omega_1^2 \equiv \omega_0^2 - \delta^2. \quad (6)$$

Величины ψ_0 и β_0 определяются начальными условиями. Таким образом, из (3) и (6) следует, что в неоднородном гравитационном поле происходит сдвиг положения равновесия осциллятора и изменение частоты собственных колебаний. Если $|\Gamma_2(\varphi_0)| \ll \omega_0^2$, что для гравитационного поля Земли справедливо при $\tau_0 \equiv 2\pi \omega_0^{-1} \leq 10^3$ с, то формулы (5) могут быть упрощены:

$$\gamma = \Gamma_1(\varphi_0)/\omega_0^2; \quad \Omega \equiv |\omega - \omega_1| = \Gamma_2(\varphi_0)/\omega_1. \quad (7)$$

В зависимости от того, какой именно параметр — γ или Ω — используется для нахождения вторых производных потенциала, будем называть метод измерения статическим или динамическим соответственно. Сравнительно недавно был предложен модуляционный метод измерения. Идея этого метода состоит в том, что осциллятор вместе с регистрирующим прибором помещается на платформу, равномерно вращающуюся вокруг оси крутильной нити с некоторой частотой p . Тогда $\varphi_0 = pt$, и момент гравитационных сил, действующих на гантель, оказывается периодическим. Уравнение движения (1) переходит в уравнение вынужденных колебаний:

$$\ddot{\varphi} + 2\delta\dot{\varphi} + \omega_0^2\varphi = W_{xy} \cos 2pt + W_\Delta \sin 2pt, \quad (8)$$

Параметрами, зависящими от искоемых W_{xy} и W_Δ , в модуляционном методе оказываются амплитуды квадратурных компонент вынужденных колебаний, которые максимальны, если частота вращения p удовлетворяет условию резонанса: $2p \approx \omega_0$. Если W_{xy} и W_Δ «включаются» при $t=0$, то решение уравнения (8) имеет вид колебаний с нарастающей амплитудой:

$$\varphi(t) = \exp(-\delta t) (A \sin \omega_1 t + B \cos \omega_1 t) + at \sin 2pt + bt \cos 2pt, \quad (9)$$

где $a \equiv W_{xy}/2\omega_0$; $b \equiv -W_\Delta/2\omega_0$. Величины A и B определяются начальными условиями. Формула (9) справедлива на интервале времени $(0, \tau)$, много меньшем времени релаксации осциллятора $\tau^* = 1/\delta$, что в дальнейшем и предполагается.

Перейдем к оценке предельной точности трех рассмотренных методов измерения.

С учетом собственных шумов $n(t)$ регистрирующего прибора сигнал $u(t)$ на его выходе имеет вид

$$u(t) = \varphi(t, \lambda) + n(t), \quad (10)$$

где $\varphi(t, \lambda)$ — полезный сигнал вида (5) или (9), λ — интересующий нас параметр полезного сигнала, т. е. γ , Ω или a , b .

Точность оценки $\tilde{\lambda}$ характеризуется дисперсией $\sigma_{\lambda}^2 = \langle (\tilde{\lambda} - \lambda_0)^2 \rangle$, где λ_0 — истинное значение параметра в принятой реализации $u(t)$, а усреднение производится по ансамблю всевозможных реализаций шума $n(t)$. Существует несколько методов получения оптимальной оценки параметра сигнала, принятого на фоне шума, которые различаются критериями оптимальности (функций потерь). Будем далее полагать, что априорная плотность вероятности искомого параметра равномерна в некотором интервале значений и что в принятом сигнале $u(t)$ отношение сигнала к шуму много больше единицы. При этих условиях асимптотически эффективная оценка, т. е. оценка с минимальной дисперсией, дается методом максимума функции правдоподобия [1]. Согласно этому методу, оптимальная оценка амплитуды α сигнала известной формы $as(t)$, принятого на фоне белого шума в интервале времени $(0, \tau)$, дается формулой [2]:

$$\tilde{\alpha} = \int_0^{\tau} u(t) s(t) dt / \int_0^{\tau} s^2(t) dt, \quad (11)$$

а дисперсия оценки равна

$$\sigma_{\alpha}^2 = N_0 \left[\int_0^{\tau} s^2(t) dt \right]^{-1}. \quad (12)$$

Применим эти соотношения для оценки точности статического и модуляционного методов. В первом случае в полезном сигнале (5) оцениваемым параметром α является величина $\varphi_0 + \gamma$, форма сигнала $s(t) = 1$, $0 \leq t \leq \tau$. Для получения оценки необходимо выходной сигнал $u(t)$ сначала пропустить через фильтр нижних частот, чтобы из отклика (5) исключить несущественную в данном случае осциллирующую компоненту, и полученный сглаженный сигнал $u^*(t)$ проинтегрировать согласно (11):

$$\tilde{\alpha} = \frac{1}{\tau} \int_0^{\tau} u^*(t) dt. \quad (13)$$

Дисперсия оценки следует из (12):

$$\sigma_{\alpha}^2 = N_0 / \tau.$$

Если значение φ_0 постоянно, т. е. дрейф нулевого положения отсутствует, то

$$\sigma_{\gamma}^2 = \sigma_{\alpha}^2 = N_0 / \tau. \quad (14)$$

Из формул (14) и (7) получаем оценку инструментальной точности статического метода:

$$\sigma_1 = \omega_0^2 \sigma_{\gamma} = \omega_0^2 \sqrt{N_0 / \tau}. \quad (15)$$

В модуляционном методе оценке подлежат амплитуды компонент с частотами $2p$. Как видно из формулы (9), в этом случае форма сигнала $s(t) = t \begin{pmatrix} \sin 2pt \\ \cos 2pt \end{pmatrix}$, и согласно (11) оптимальная оценка искомых амплитуд дается процедурой синхронного детектирования:

$$\tilde{a}, \tilde{b} = \int_0^{\tau} u(t) \begin{pmatrix} \sin 2pt \\ \cos 2pt \end{pmatrix} t dt / \int_0^{\tau} t^2 \begin{pmatrix} \sin^2 2pt \\ \cos^2 2pt \end{pmatrix} dt,$$

откуда

$$\tilde{a}, \tilde{b} = \frac{6}{\tau^3} \int_0^{\tau} u(t) \begin{pmatrix} \sin 2pt \\ \cos 2pt \end{pmatrix} t dt. \quad (16)$$

Дисперсия оценок равна

$$\sigma_{a,b}^2 = N_0 \left[\int_0^{\tau} t^2 \begin{pmatrix} \sin^2 2pt \\ \cos^2 2pt \end{pmatrix} dt \right]^{-1} = \frac{6N_0}{\tau^3}. \quad (17)$$

В последней формуле осциллирующие члены, возникающие при интегрировании, содержат множители вида $(\omega_0\tau)^{-n}$, $n=1, 2, 3$, и отбрасываются в силу условия $\omega_0\tau \gg 1$. Из (9) и (17) получаем оценку предельной инструментальной точности модуляционного метода:

$$\sigma_s = 2\sqrt{6} \frac{\omega_0}{\tau} \sqrt{\frac{N_0}{\tau}}. \quad (18)$$

В динамическом методе оцениваемым параметром является сдвиг частоты собственных колебаний (см. (5)). Оптимальная процедура оценки произвольного неэнергетического параметра сигнала, принятого на фоне белого шума, заключается в подборе такого значения λ , которое максимизирует величину

$$q(\lambda) = \frac{1}{N_0} \int_0^{\tau} u(t) s(t, \lambda) dt,$$

где $s(t, \lambda)$ — сигнал, идентичный полезному и варьируемый по параметру λ . В случае оценки частоты такая операция физически осуществляется с помощью системы автоподстройки частоты гетеродина. Дисперсия оценки частоты дается формулой [2]:

$$\sigma_{\Omega}^2 = 2N_0 \left[\int_0^{\tau} t^2 s_0^2(t) dt \right]^{-1}, \quad (19)$$

где $s_0(t) = \psi_0 \exp(-\delta t)$ — огибающая квазигармонического сигнала (5).

Выполнив интегрирование, нетрудно заметить, что при фиксированной длительности интервала наблюдения τ дисперсия тем меньше, чем больше время релаксации осциллятора $\tau^* = \delta^{-1}$. В предельном случае $\tau^* \gg \tau$ получим

$$\sigma_{\Omega}^2 = \frac{3N_0}{\psi_0^2 \tau^3}.$$

откуда с учетом (7) находим предельную инструментальную точность динамического метода:

$$\sigma_s = \omega_0 \sigma_{\Omega} = \frac{\omega_0 \sqrt{6}}{\psi_0 \tau} \sqrt{\frac{N_0}{\tau}}. \quad (20)$$

Перейдем к рассмотрению ограничений точности, обусловленных броуновскими колебаниями осциллятора. Согласно теореме Найквиста, эти колебания могут быть представлены как реакция осциллятора на действие случайного момента сил $M_{\text{фл}}(t)$ с равномерной спектральной плотностью $4\kappa TH$, где κ — постоянная Больцмана, T — абсолютная температура, H — коэффициент трения. В этом случае уравнения движения осциллятора (3) и (8) переходят в следующие:

$$\ddot{\varphi} + 2\delta\dot{\varphi} + \omega_0^2\varphi = \Gamma_1(\varphi_0) + \Gamma_2(\varphi_0)\varphi + m(t) \quad (21)$$

и

$$\ddot{\varphi} + 2\delta\dot{\varphi} + \omega_0^2\varphi = W_{xy} \cos 2pt + W_{\Delta} \sin 2pt + m(t), \quad (22)$$

где $m(t)$ — белый шум со спектральной плотностью

$$N_1 = 4\kappa THJ^{-2}. \quad (23)$$

Решения этих уравнений, т. е. сигнал на выходе регистрирующего прибора, полагаемого далее нешумящим, имеют вид:

$$\varphi(t) = s(t, \lambda) + \xi(t), \quad (24)$$

где $s(t, \lambda)$ — полезный сигнал вида (5) или (9), $\xi(t)$ — броуновские колебания, удовлетворяющие стохастическому уравнению

$$\ddot{\xi} + 2\delta\dot{\xi} + \omega_0^2\xi = m(t).$$

Из последнего уравнения можно найти функцию корреляции узкополосного случайного процесса $\xi(t)$:

$$K_{\xi}(\tau) = \sigma_{\xi}^2 \exp(-\delta|\tau|) (\cos \omega_1\tau + (\delta/\omega_1) \sin \omega_1|\tau|). \quad (25)$$

Задача оценки параметров сигнала, принятого на фоне гауссовского шума с функцией корреляции вида (25), приводит к громоздким вычислениям. В нашем случае удобно воспользоваться процедурой «обеления» шума [3], которая подсказывается видом уравнений (21) и (22). Для этого из выходного сигнала $\varphi(t)$ с помощью дифференцирующих, усиливающих и суммирующего устройств надо сформировать сигнал

$$v(t) = \ddot{\varphi} + 2\delta\dot{\varphi} + \omega_0^2\varphi,$$

что возможно, если параметры δ и ω_0 известны априори. Тогда, согласно (21) и (22), имеем

$$v(t) = \Gamma_1 + \Gamma_2\varphi(t) + m(t), \quad (26)$$

или

$$v(t) = W_{xy} \cos 2pt + W_{\Delta} \sin 2pt + m(t).$$

Таким образом, мы приходим к задаче оценки амплитуды полезных сигналов вида $s_1(t) = 1$; $s_2(t) = \varphi(t)$ и $s_3(t) = \begin{cases} \sin 2pt \\ \cos 2pt \end{cases}$, принятых в сигнале $v(t)$ на фоне белого шума $m(t)$. Применяя формулу (12), получаем следующие выражения для теплового предела точности.

Для статического метода:

$$\sigma_4 = \sqrt{\frac{N_1}{\tau}} = \sqrt{\frac{8\kappa T}{J\tau^*}}. \quad (27)$$

Для модуляционного метода:

$$\sigma_6 = \sqrt{\frac{2N_1}{\tau}} = \sqrt{\frac{16\kappa T}{J\tau^*}}. \quad (28)$$

Наконец, для динамического метода из (12) и (28) имеем:

$$\sigma_s^2 = N_1 \left[\int_0^{\tau} \varphi^2(t) dt \right]^{-1}.$$

Согласно (24) $\varphi(t)$ — случайный процесс; однако мы рассматриваем случай больших отношений сигнал/шум, и можно в последнем выражении приближенно заменить $\varphi(t)$ на регулярный сигнал $\psi_0 \cos(\omega t + \beta_0)$, пренебрегая также и затуханием, так как $\tau \ll \tau^*$. Окончательно получаем для теплового предела точности динамического метода следующее выражение:

$$\sigma_s = \frac{1}{\psi_0} \sqrt{\frac{2N_1}{\tau}} = \frac{1}{\psi_0} \sqrt{\frac{16\kappa T}{J\tau\tau^*}}. \quad (29)$$

Полученные соотношения для инструментального и теплового пределов точности различных методов измерения вторых производных гравитационного потенциала сведены в таблицу. Величину $\sqrt{N_0/\tau}$, фигурирующую в формулах (15), (18) и (20), можно интерпретировать как минимальную амплитуду цуга синусоидальных угловых колебаний длительностью τ , регистрируемую прибором на фоне собственных шумов, поэтому она обозначена как $\varphi_{\min}(\tau)$. В той же таблице приведены численные оценки при следующих значениях параметров: $\omega_0 = 2\pi \text{ с}^{-1}$, $\tau = 10 \text{ с}$; $\tau^* = 300 \text{ с}$ ($Q = 10^3$); $\psi_0 = 0,1 \text{ рад}$; $T = 300 \text{ К}$; $J = 10^4 \text{ г} \cdot \text{см}^2$ ($m = 50 \text{ г}$, $R = 10 \text{ см}$); $\varphi_{\min}(\tau) = 10^{-11} \text{ рад}$.

Метод	Инструментальный предел	Тепловой предел
Статический	$\omega_0^2 \varphi_{\min}(\tau)$	$\left(\frac{8\kappa T}{J\tau\tau^*} \right)^{1/2}$
	$0,4 \cdot 10^{-9} \text{ с}^{-2} = 0,4 \text{ Е}$	0,1 Е
Динамический	$\frac{\sqrt{6} \omega_0}{\psi_0 \tau} \varphi_{\min}(\tau)$	$\frac{1}{\psi_0} \left(\frac{16\kappa T}{J\tau\tau^*} \right)^{1/2}$
	0,15 Е	1,5 Е
Модуляционный	$\frac{2\sqrt{6} \omega_0}{\tau} \varphi_{\min}(\tau)$	$\left(\frac{16\kappa T}{J\tau\tau^*} \right)^{1/2}$
	0,03 Е	0,15 Е

Полученные результаты позволяют сделать следующие выводы.

1. При прочих равных условиях инструментальная точность измерения вторых производных гравитационного потенциала модуляционным методом существенно выше инструментальной точности немодуляционных методов.

2. В рамках сделанных предположений тепловые пределы точности статического и модуляционного градиентометров равны по порядку ве-

личины. Однако на точность статического метода существенное влияние может оказывать дрейф нулевого положения, который имеет спектральную плотность вида $1/f$ и в данном рассмотрении не учитывался. В модуляционном же методе полезный эффект кодируется с удвоенной частотой вращения и может быть сдвинут в ту область частот, где фликкер-шум отсутствует или мал.

3. В немодуляционных методах измеряются не сами величины W_{xy} и W_{Δ} , а их линейные комбинации вида (4). Поэтому для определения W_{xy} и W_{Δ} на каждом пункте необходимо делать несколько измерений (минимум три) при различных азимутах прибора φ_0 , что увеличивает полное время, затрачиваемое на измерение. Платой за преимущества модуляционного метода является существенное усложнение конструкции градиентометра, и в первую очередь необходимость строго равномерного вращения.

СПИСОК ЛИТЕРАТУРЫ

[1] Куликов Е. П., Трифонов А. П. Оценка параметров сигналов на фоне помех. М.: Сов. радио, 1978, с. 23. [2] Тихонов В. И. Статистическая радиотехника. М.: Сов. радио, 1966. [3] Амиантов И. Н. Избранные вопросы статистической теории связи: М.: Сов. радио, 1971, с. 17.

Поступила в редакцию
09.06.82

ВЕСТН. МОСК. УН-ТА | СЕР. 3. ФИЗИКА. АСТРОНОМИЯ, 1982, т. 23, № 6

УДК 551.482.212:551.465

ВОЗДЕЙСТВИЕ КРУПНОМАСШТАБНОЙ ТУРБУЛЕНТНОСТИ НА СТРУКТУРУ ПОГРАНИЧНОГО СЛОЯ ПЛОТНОСТНОГО ТЕЧЕНИЯ

Б. И. Самолюбов, А. Ю. Пыркин

(кафедра физики моря и вод суши)

Структура пограничного слоя турбулентного стратифицированного течения является в каждый момент времени отражением происходящих в этом слое сложных процессов обмена потока с окружающей водной средой. Исследования вертикальных распределений параметров стратифицированных течений на их границах, главным образом в зоне пикноклина, в океанах, морях и лабораторных условиях [1, 2] показали существование плотностных ступенчатых микроструктур, пальцев солености и инверсий температуры. Сформулированы предполагаемые причины этих явлений — обрушение внутренних волн, двойная диффузия, интрузия теплых осолоненных вод. Конкретное выяснение происхождения структурных преобразований в контактной зоне стратифицированного потока требует комплексных натурных исследований не только пограничного слоя, но и течения, которому он принадлежит. Такая задача выполнялась при изучении пространственно-временной структуры придонного потока, обусловленного механической и термической стратификацией [3].

Объект исследований — естественный водоем каньонного типа с максимальной глубиной 300 м, длиной около 60 и шириной до 5 км. Регистрировались концентрация взвеси S , температура воды T , средние U и пульсационные значения скорости придонного течения по всей его толщине (до 30 м [4]) и отдельно в области верхней контактной зоны потока дискретным и непрерывным методами.